

回転構内体形シェル海底石油タンクの設計計算について

清水建設株式会社 正員 蔵田忠廣
早稲田大学大学院 学生員 船山吉久
東海大学大学院 学生員 ○足立裕彦

A. 目的 本文は 内浦湾(豊河湾奥)内水深60m地点に設置することを目的とした 図-1のような長軸50m、短軸30mの回転構内体形シェル石油タンクのシェル本体の設計計算について述べるものである。形体は不等沈下を防ぐためタンクをトラス構造で支え、無筋コンクリート基礎で固定するようした。設計計算に当って、外力として、静水圧・自重・浮力・流水圧・地震時動水圧・温度差・最大波によるシェルへの影響を考慮し、タンク自体の最も危険な状態である空虚時の場合を考えた。回転構内体形シェルの膜応力は荷重操作（次の節で述べる）を施した球殻の膜応力からアフ変換により求め、これを近似的に一般理論の特殊解とした。中央エッジリング附近には膜応力による変位を制限する曲げモーメントとエッジリングの半径方向推力が生じるためシェルとエッジリングとの間に一般理論に基づいた適合条件式を立て、この解を補解とした。そしてこの設計には、土木学会海洋鋼構造物設計指針(案)を適用した。

B. 膜応力の算定 1) アフン変換 図-2のアフ変換(ひ方向のみn倍する変換)により球殻の膜応力から回転構内体の膜応力を求める。この変換時の弧要素の変化は、

$$\begin{aligned} \text{輝線: } dS_\theta &= dS_\theta^* \\ \text{経線: } dS_\varphi &= \sqrt{d\xi^{*2} + n^2 d\zeta^{*2}} = dS_\varphi^* \sqrt{\cos^2 \varphi^* + n^2 \sin^2 \varphi^*} \end{aligned} \quad \left. \right\} (1 \cdot 1)$$

となるので両者の応力関係は、

$$\begin{aligned} N_\theta &= N_\theta^* \frac{dS_\theta/dS_\theta^*}{dS_\varphi/dS_\varphi^*} = \frac{N_\theta^*}{\sqrt{\cos^2 \varphi^* + n^2 \sin^2 \varphi^*}} \\ N_\varphi &= N_\varphi^* \frac{dS_\varphi/dS_\varphi^*}{dS_\theta/dS_\theta^*} = N_\varphi^* \sqrt{\cos^2 \varphi^* + n^2 \sin^2 \varphi^*} \quad N_{\theta\varphi} = N_{\theta\varphi}^* \end{aligned} \quad \left. \right\} (1 \cdot 2)$$

またこの時、球殻に作用する荷重成分、 P_ξ^* , P_ζ^* , P_θ^* は変換後、

$$\begin{aligned} P_\xi &= P_\xi^* / \sqrt{\cos^2 \varphi^* + n^2 \sin^2 \varphi^*} & P_\zeta &= P_\zeta^* / \sqrt{\cos^2 \varphi^* + n^2 \sin^2 \varphi^*} \\ P_\theta &= n P_\theta^* / \sqrt{\cos^2 \varphi^* + n^2 \sin^2 \varphi^*} \end{aligned} \quad \left. \right\} (1 \cdot 3)$$

となる。つまりひ方向のみひびき成分のn倍された荷重が働くことになる。このような変換関係を留意すると、たとえば、球殻の法線方向に作用する荷重は変換後、もう1つ回転構内体の法線方向を示さなくなる。従って

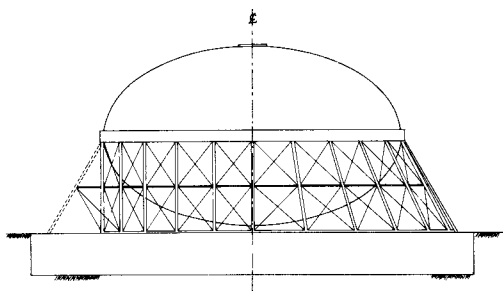


図-1 回転構内体形シェルタンク概略図

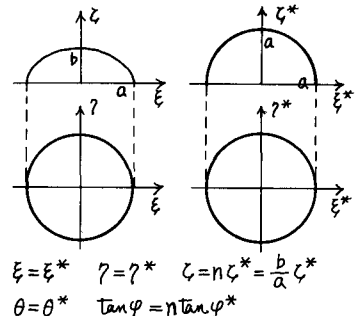


図-2

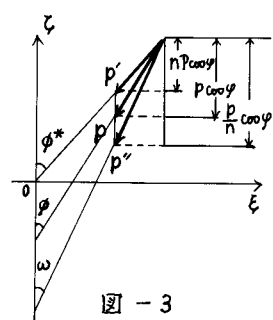


図-3

水圧のような荷重は 図-3の荷重操作が必要となる。つまり、
Pを回転構内体の沿縦方向に実際に働く荷重とし、このじ成分を
N倍した荷重をP'すると、このP'を球殻に作用してやれば変換
後P''はPと一緒にし、実際の荷重状態となる。

この時、PとP'、φとφ*、ωとの関係を示すと、

$$P'' = \frac{P}{n} \sqrt{\cos^2 \varphi + n^2 \sin^2 \varphi} \quad \varphi = \sin^{-1} \left(\frac{n \sin \varphi^*}{\sqrt{\cos^2 \varphi + n^2 \sin^2 \varphi}} \right), \omega = \sin^{-1} \left(\frac{n^2 \sin \varphi^*}{\sqrt{\cos^2 \varphi + n^2 \sin^2 \varphi}} \right) \quad (1.4)$$

となり、球殻には次の荷重成分X・Y・Zを作用すればよい。

$$X = 0 \quad (1.5)$$

$$Y = P' \sin(\varphi^* - \omega) = \frac{P}{n} \sqrt{\cos^2 \varphi + n^2 \sin^2 \varphi} \cdot \sin \left\{ \varphi^* - \sin^{-1} \left(\frac{n^2 \sin \varphi^*}{\sqrt{\cos^2 \varphi + n^2 \sin^2 \varphi}} \right) \right\}$$

$$Z = P' \cos(\varphi^* - \omega) = \frac{P}{n} \sqrt{\cos^2 \varphi + n^2 \sin^2 \varphi} \cdot \cos \left\{ \varphi^* - \sin^{-1} \left(\frac{n^2 \sin \varphi^*}{\sqrt{\cos^2 \varphi + n^2 \sin^2 \varphi}} \right) \right\}$$

2) 軸対称荷重 膜応力状態の一般的な釣り合い式は図-4より

$$\begin{aligned} \frac{\partial}{\partial \varphi} (Y_0 N_p) + \frac{\partial N_{\theta 0}}{\partial \theta} Y_1 - N_{\theta} \cos \varphi + Y_1 Y_0 &= 0 \\ \frac{\partial}{\partial \varphi} (Y_0 N_{\theta 0}) + \frac{\partial N_{\theta 0}}{\partial \theta} Y_1 + N_{\theta} Y_1 \cos \varphi + X Y_1 Y_0 &= 0 \\ N_p Y_0 + N_{\theta} Y_1 \sin \varphi + Z Y_1 Y_0 &= 0 \end{aligned} \quad (1.6)$$

となり軸対称荷重の場合は(1.6)式を $N_{\theta 0} = N_{\theta \varphi}$, $\frac{\partial}{\partial \theta} = 0$, $X = 0$,
及び $Y_1 = Y_2 = a$, $Y_0 = a \sin \varphi$ (球殻)の条件下で N_p , N_{θ} を求めればよい。

静水圧を荷重として考える場合、図-5のようないずれか荷重操作をする。

$$P = n P_1 = n w_0 \left\{ \frac{R}{n} + a(1 - \cos \varphi^*) \right\} \quad R: 水深 \quad w_0: 海水の密度 (1.7)$$

つまり、(1.7)式を(1.5)式に代入しその荷重下で半径aの球殻の膜
応力を求め、(1.2)のアフ変換を施すと回転構内体の膜応力 N_p , N_{θ}
が図-6のように求まる。自重を荷重として考える場合は荷重操
作は何もいらない。ただ殻厚が変換後一定厚さのものへ $\varphi = 90^\circ \rightarrow 0^\circ$
で2倍の厚さに変化する。実際のタンクは殻厚一定なので
図-4の応力よりその増大を考慮に入れない必要はある。

3) 逆時計荷重 流水圧時の応力は地震時の水平動水圧の応力の
1%程度なので地震時のみを述べる。地震時の動水圧としてウェス
ターガードの式を用いその半分ずつを球殻に逆時計に作用させよ。

$$P_1 = K_h \cdot g \cdot m \quad m = \frac{\gamma}{8} \cdot w_0 g \sqrt{H \cdot g} \quad (1.8)$$

K_h : 水平方向震度(高さの割増率)

m : 水の付加質量 H : 水深 g : 作用点までの深さ
この場合も荷重操作を次のようく施す。

$$P_1 = P_1 / 2 = n P = \frac{7}{16} K_h \cdot w_0 \sqrt{H' \left\{ \frac{R}{n} + a(1 - \cos \varphi^*) \right\}}$$

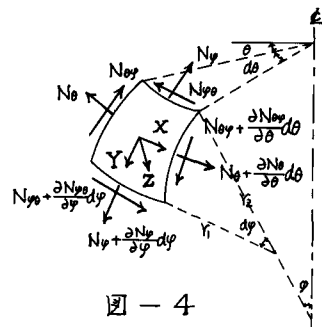


図-4

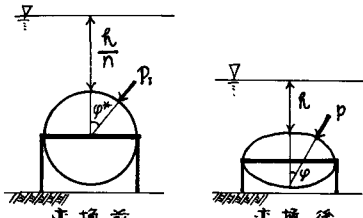


図-5

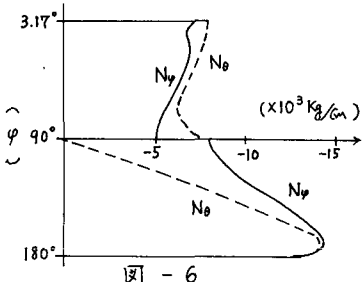


図-6

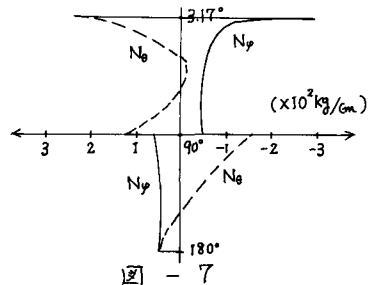


図-7

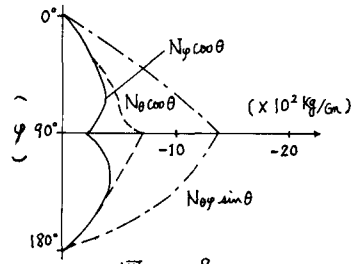


図-8

従つて球殻に作用する荷重は.

$$X = 0 \quad (1.9)$$

$$Y = P_2 \sin \varphi \cos \theta \sqrt{\cos^2 \varphi + n^2 \sin^2 \varphi} \cdot \sin \left\{ \varphi^* - \sin^{-1} \left(\frac{n^2 \sin \varphi^*}{\sqrt{\cos^2 \varphi + n^2 \sin^2 \varphi}} \right) \right\} \quad Z = P_2 \sin \varphi \cos \theta \sqrt{\cos^2 \varphi + n^2 \sin^2 \varphi} \cdot \cos \left\{ \varphi^* - \sin^{-1} \left(\frac{n^2 \sin \varphi^*}{\sqrt{\cos^2 \varphi + n^2 \sin^2 \varphi}} \right) \right\}$$

となり、これを(1.6)式に代入し膜応力を求め(1.2)のアフ変換を施すと図-8の応力状態が求まる。

C. 中央エッジリンごく近い端接続(軸対称荷重の場合) この場合の斜合式と弾性法則式は

$$\begin{aligned} \frac{\partial}{\partial \varphi} (Y_0 N_\varphi) - N_\theta Y_0 \cos \varphi - Q_\varphi Y_0 + Y_1 Y_0 &= 0 & N_0 Y_0 + N_\theta Y_1 \sin \varphi + \frac{\partial}{\partial \varphi} (Y_0 Q_\varphi) + Z Y_1 Y_0 &= 0 \\ \frac{\partial}{\partial \varphi} (Y_0 M_\varphi) - M_\theta Y_0 \cos \varphi - Q_\varphi Y_1 Y_0 &= 0 & \end{aligned} \quad \left. \right\} \quad (2.1)$$

$$\begin{aligned} N_\varphi &= \frac{ER}{1-\nu^2} (\mathcal{E}_\varphi + \nu \mathcal{E}_\theta) \quad N_\theta = \frac{ER}{1-\nu^2} (\mathcal{E}_\theta + \nu \mathcal{E}_\varphi) \quad M_\varphi = \frac{-ER^3}{12(1-\nu^2)} (\chi_\varphi + \nu \chi_\theta) \quad M_\theta = \frac{-ER^3}{12(1-\nu^2)} (\chi_\theta + \nu \chi_\varphi) \\ \mathcal{E}_\varphi &= \frac{1}{Y_1} \frac{dU}{d\varphi} - \omega \quad \mathcal{E}_\theta = \frac{1}{Y_2} (U \cot \varphi - \omega) \quad \chi_\varphi = \frac{1}{Y_1} \frac{d}{d\varphi} \left(\frac{U}{Y_1} + \frac{dU}{d\varphi} \right) \quad \chi_\theta = \frac{1}{Y_1 Y_2} (U + \frac{dU}{d\varphi}) \cot \varphi \end{aligned} \quad \left. \right\} \quad (2.2)$$

と新変数 $U = \frac{1}{Y_1} (U + \frac{dU}{d\varphi})$, $U = Y_2 Q_\varphi$ を用い殻厚一定の場合(2.1)は次のように書ける。

$$\begin{aligned} L(U) + \frac{Y}{Y_1} U &= E R V & L(V) - \frac{Y}{Y_1} V &= -\frac{U}{D} \\ \therefore D &= \frac{ER^3}{12(1-\nu^2)} & L(\) &= \frac{Y_2 d^2(\)}{Y_1^2 d\varphi^2} + \frac{1}{Y_1} \left[\frac{d}{d\varphi} \left(\frac{Y_2}{Y_1} \right) + \frac{Y_2}{Y_1} \cot \varphi \right] \frac{d(\)}{d\varphi} - \frac{Y_1 \cot^2 \varphi}{Y_1 Y_2} (\) \end{aligned} \quad (2.3)$$

が得られ、シェルの開角 α で除り小さくない場合 端接続により生ずる断面力の減衰は指観関数的であるので、ゲッケラーへ方法を参考。そして残るの場合、天窓の影響は無視出来るので。

$$U = C e^{\lambda \varphi} \cos(\lambda \varphi + \gamma), \quad V = C \frac{Y_2}{Y_1} \frac{2 \lambda^2}{ER} e^{-\lambda \varphi} \sin(\lambda \varphi + \gamma) \quad \therefore \lambda^4 = \frac{3(1-\nu^2)}{R^2} \left(\frac{Y_2^2}{Y_1^2} \right) \quad \begin{matrix} \gamma = \text{const} \\ \varphi = \alpha - \psi \end{matrix} \quad (2.4)$$

これより断面力と書けば次のように求まる。

$$\begin{aligned} Q_\varphi &= \frac{C}{Y_2} e^{\lambda \varphi} \cos(\lambda \varphi + \gamma), \quad N_\varphi = -C \cot(\alpha - \psi) \frac{e^{\lambda \varphi}}{Y_2} \cos(\lambda \varphi + \gamma), \quad N_\theta = -C \frac{\sqrt{2} \lambda}{Y_1} e^{-\lambda \varphi} \sin(\lambda \varphi + \gamma + \frac{\pi}{4}), \\ M_\varphi &= \frac{C}{\sqrt{2} \lambda} \frac{Y_1}{Y_2} e^{-\lambda \varphi} \cos(\lambda \varphi + \gamma + \frac{\pi}{4}), \quad M_\theta = \nu M_\varphi, \quad \delta = -C \frac{Y_2 \sin(\alpha - \psi)}{ER} \sqrt{2} \lambda e^{-\lambda \varphi} \sin(\lambda \varphi + \gamma + \frac{\pi}{4}) \end{aligned} \quad \left. \right\} \quad (2.5)$$

この時の積分定数 C を残して計算に必要な次の2つの場合につき定める。

$\psi = \alpha$ で M_α を考えると境界条件は



$$(M_\alpha)_{y=0} = M_\alpha, \quad (N_\varphi)_{y=0} = 0$$

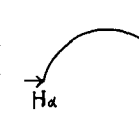
M_α となり $\psi = 0$, $\gamma = \frac{\pi}{2}$ を持つので.

$$\therefore C = -2 \cdot \lambda \cdot Y_2 \cdot \frac{Y_{10}}{Y_{10}} \cdot M_\alpha \quad (2.6)$$

これより水平変位 δ , 子午線接線の回転 V は.

$$(\delta)_{y=0} = \frac{2 \lambda^2 \sin \alpha Y_{10}^2}{ER_\theta} M_\alpha \quad (V)_{y=0} = -\frac{4 \lambda^3 Y_{10}^2}{ER_\theta} M_\alpha \quad (2.7)$$

$\psi = \alpha$ で H_α を考えると境界条件は



$$(M_\alpha)_{y=0} = 0, \quad (N_\varphi)_{y=0} = -H_\alpha \cos \alpha$$

H_α となり $\psi = 0$, $\gamma = \frac{\pi}{4}$ を持つので

$$\therefore C = \sqrt{2} \cdot Y_{10} \cdot \sin \alpha \cdot H_\alpha \quad (2.8)$$

これより水平変位 δ , 子午線接線の回転 V は.

$$(\delta)_{y=0} = -\frac{2 \lambda \sin \alpha Y_{10}}{ER_\theta} H_\alpha \quad (V)_{y=0} = \frac{2 \lambda^2 Y_{10}^2}{ER_\theta} \sin \alpha H_\alpha \quad (2.9)$$

次に図-9 のようドエッジリングとシェルとの連続状態を表わすと、次の4つの方程式に帰着する。

$$\begin{aligned} \delta_{01} + \delta_1 \pm \delta_{\theta t} &= \delta_{01}^* + \delta_{\alpha t}^* + \delta_{\beta t}^* + \delta_{\theta t}^* + V_r \frac{d}{d\varphi} \\ \delta_{01} + V_1 &= V_r^* \end{aligned} \quad \left. \begin{aligned} \delta_{02} + \delta_2 \pm \delta_{\theta t} &= \delta_{02}^* + \delta_{\alpha t}^* + \delta_{\beta t}^* + \delta_{\theta t}^* - V_r \frac{d}{d\varphi} \\ V_{02} + V_2 &= -V_r^* \end{aligned} \right\} \quad (2.10)$$

ここで $\delta_{01}, \delta_{02}, V_{01}, V_{02}$: 横力によるシェルの変位と回転 δ_t : 温度差によるシェルの変位

$\delta_1, \delta_2, V_1, V_2$: 不静定量によるリングの変位と回転

δ_{01}, δ_{02} : 膜力によるリングの変位 δ_w : 水圧によるリングの変位

V_r^* : 不静定量によるリングの回転

こより不静定量は決定出来、(2.5)式より応力状態は図10~13となる。

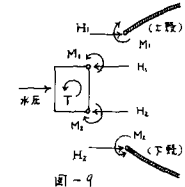
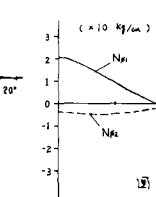
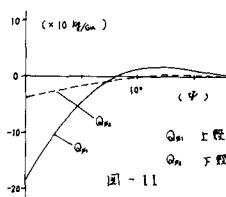
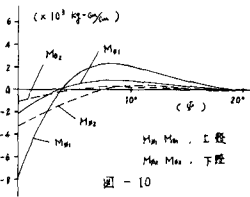


図-9

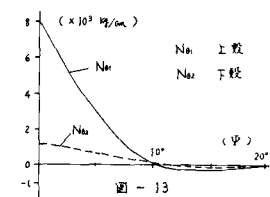


図-13

D 天窓付近の端搅乱 天窓付近を図-14のような穴の開いた円板に内側と外側とに純曲げが働いている平板を考える。そして $r=a$ を ∞ に長くしたものとて $M_1=0$ とみなす。この時セン断力 $Q=0$ だからこの平板の式は $\frac{\partial^2 r}{\partial \varphi^2} \left[K_r \cdot \frac{\partial^2 r}{\partial \varphi^2} + r \cdot \frac{\partial^2 r}{\partial \varphi^2} \right] = 0$ となる。この時半径方向の曲げを $M_r=M_\theta$, それと直角方向への曲げを $M_t=M_\theta$ とすると、 $(M_{10})_{r=b} = M_2$, $(M_{10})_{r=a} = M_1$ となるので

$$M_r = \frac{b^2 M_2}{r^2} = \frac{b^2 M_2}{r_s^2 \sin^2 \varphi} = -M_\theta \quad (\because r \geq b \quad M_1 = 0) \quad (3.1)$$

次に、天窓のリングとシェルとの連続状態を考えると図-15より

$$V = -V^* \quad (3.2)$$

$$V = -\frac{dW}{d\varphi} = -\frac{(Y_0+b) M_2}{D(1-\nu)} \quad V^* = \frac{2Y}{d} |\varepsilon| = \frac{2(Y_0+\frac{b}{2})^2}{E \cdot W \cdot d} (M_1^* - M_2)$$

$$D = \frac{E R^3}{12(1-\nu^2)} \quad d: \text{天窓の高さ} \quad b: \text{天窓の幅} \quad W: \text{天窓の断面係数}$$

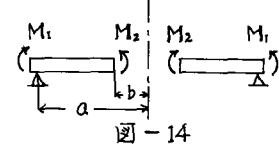


図-14

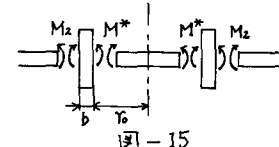


図-15

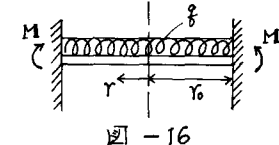


図-16

さらに M_1^* を図-16のように等分布荷重(水压)を受ける埋め込み状態にみた円板の解より決定する。

$$M_r = \frac{g}{16} [Y_0^2(1+\nu) - Y^2(1+\nu)] \quad M_t = \frac{g}{16} [Y_0^2(1+\nu) - Y^2(1+3\nu)]$$

これより天窓円板のリングに与える偶力 M_1^* は

$$M_1^* = (M_r)_{r=Y_0} + \frac{1}{Y_0 + \frac{b}{2}} (M_t)_{r=Y_0} \quad (3.3)$$

従って天窓付近に生ずる曲げは(3.1・2・3)式より図-17のようになる。

なお、ここではリングとシェルとのセン断力は考慮に入れなかったが、その接着部に水圧によるセン断力 $Q = \frac{g(Y_0+b)}{2}$ を等分布させ、この応力にシェルが耐えうることを確認した。

E 結論 以上のような応力計算と座屈(一様外圧下の球殻の座屈式をこの場合の座屈に代用した)を考慮すると、使用鋼材HT60とし、シェル上段の厚さ4cm、下段の厚さ6cmとなり、上段エッジリング付近は強張として $\psi=15^\circ$ 前後まで6cmの厚さとすればその安全は十分保たれる。よって、現在の工場の水準及び鋼材の質量を考えて直ちにも、このタンクを作りうる可能性は十分あると思ふ。

最後に、本論文作成に当たり終始懇意な御指導ならびに御助言を貰て下さった荒井利一郎先生、齊藤敏明先生、恵木克利先生に対して、ここに謹んで感謝の意を表します。

参考文献：荒井利一郎“応用力学” Timoshenko “Plates and Shells” Flügge “曲面殻の力学” “Stresses in Shells” etc.

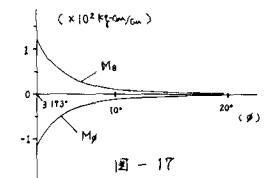


図-17